

# 4. Interpolation durch Splines

## 4.1 Allgemeines

Interpolation mit Polynomen liefert häufig unerwünschte Oszillationen und eine schlechte Approximationsgüte. Grund: Polynome sind zu starr.

**Idee** (Schoenberg ~ 1946)

Man suche eine interpolierende Funktion  $s(x)$ , für die das **Funktional**

$$I(s) := \int_{x_0}^{x_n} (s''(x))^2 dx$$

(Maß für Krümmung)

minimal ist.

Physikalisches Modell ist die Straklatte (englisch **spline**), die - an Punkten fixiert - eine "optimale" Form annimmt und vorwiegend im Schiffbau Verwendung findet.

Lösung:  $s(x)$  ist glatt (2x stetig differenzierbar) und abschnittsweise kubisches Polynom.

DAS NEU TRADITIONELLE BOOTSBAUKUNST bei E. Arnold und Konstantin, eine Lohr, die dem Auge gefällt.

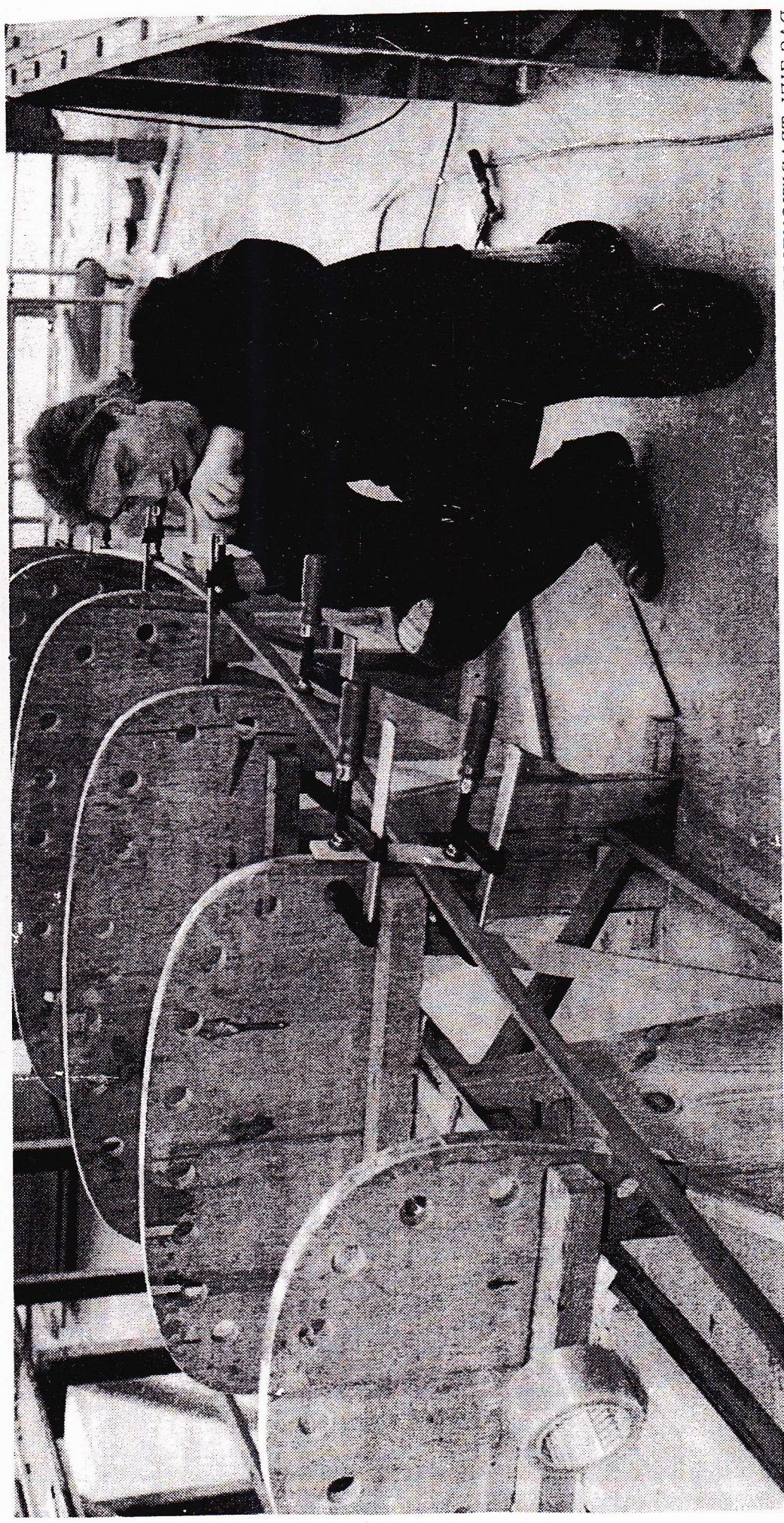
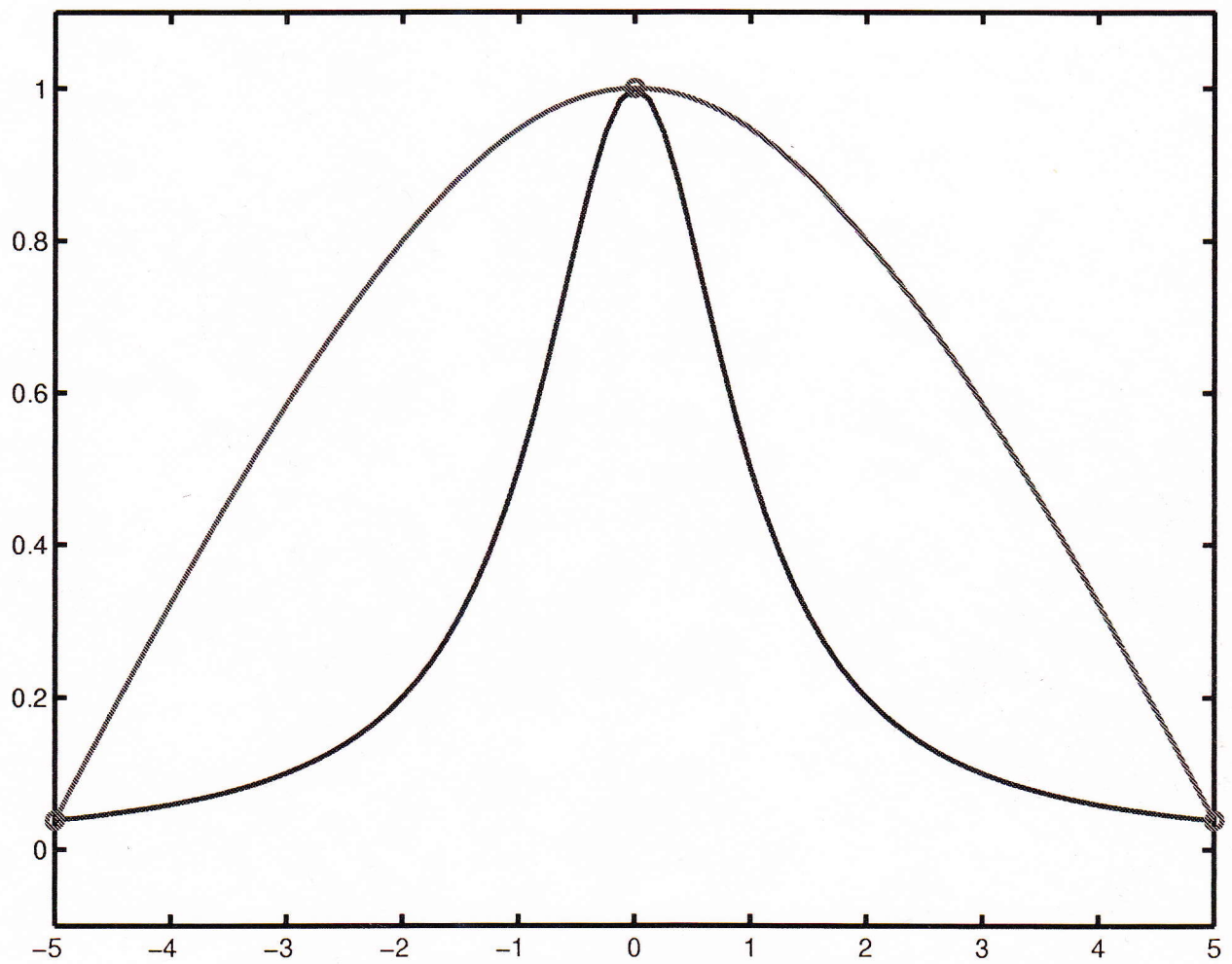
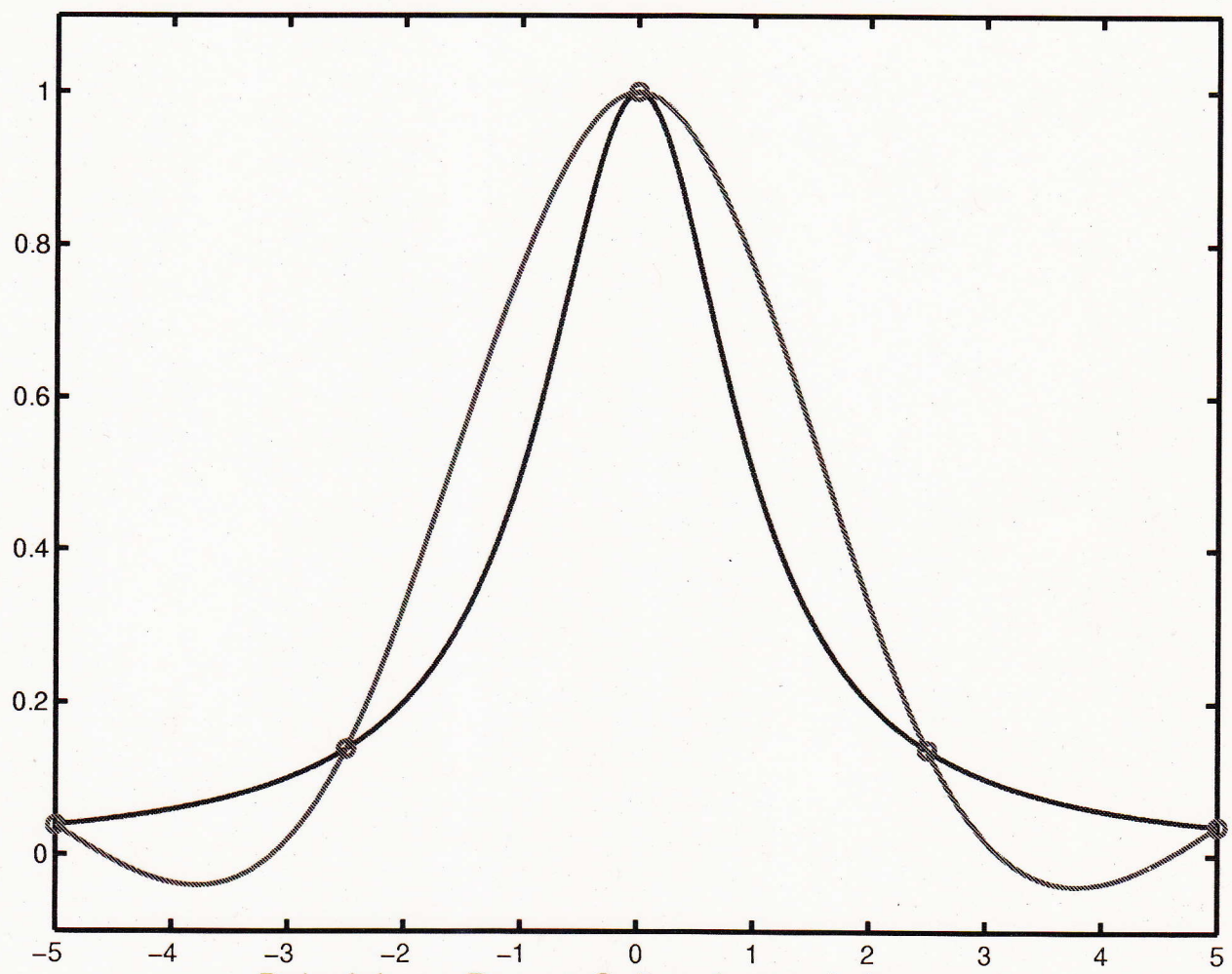


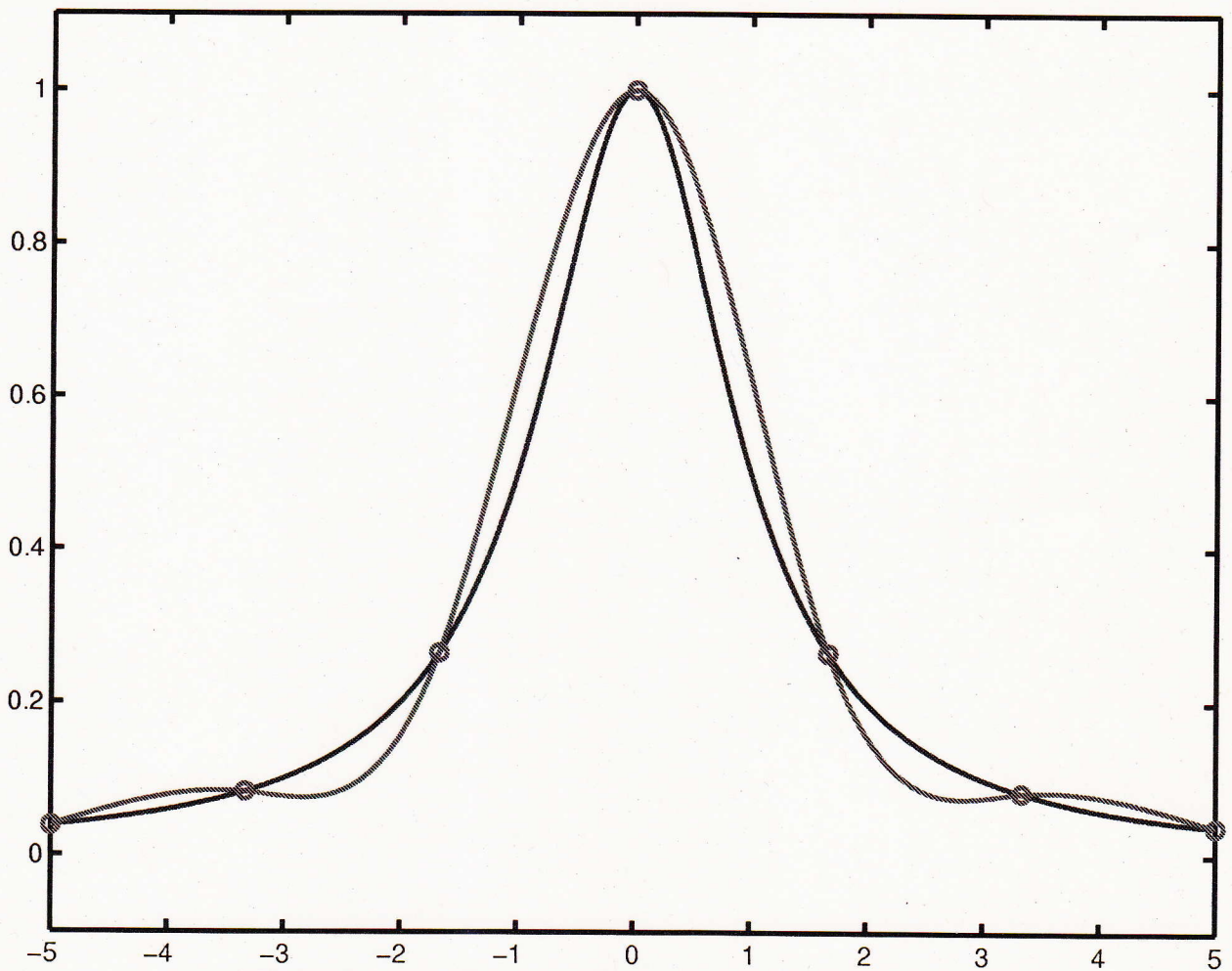
Photo: Harald Altmann



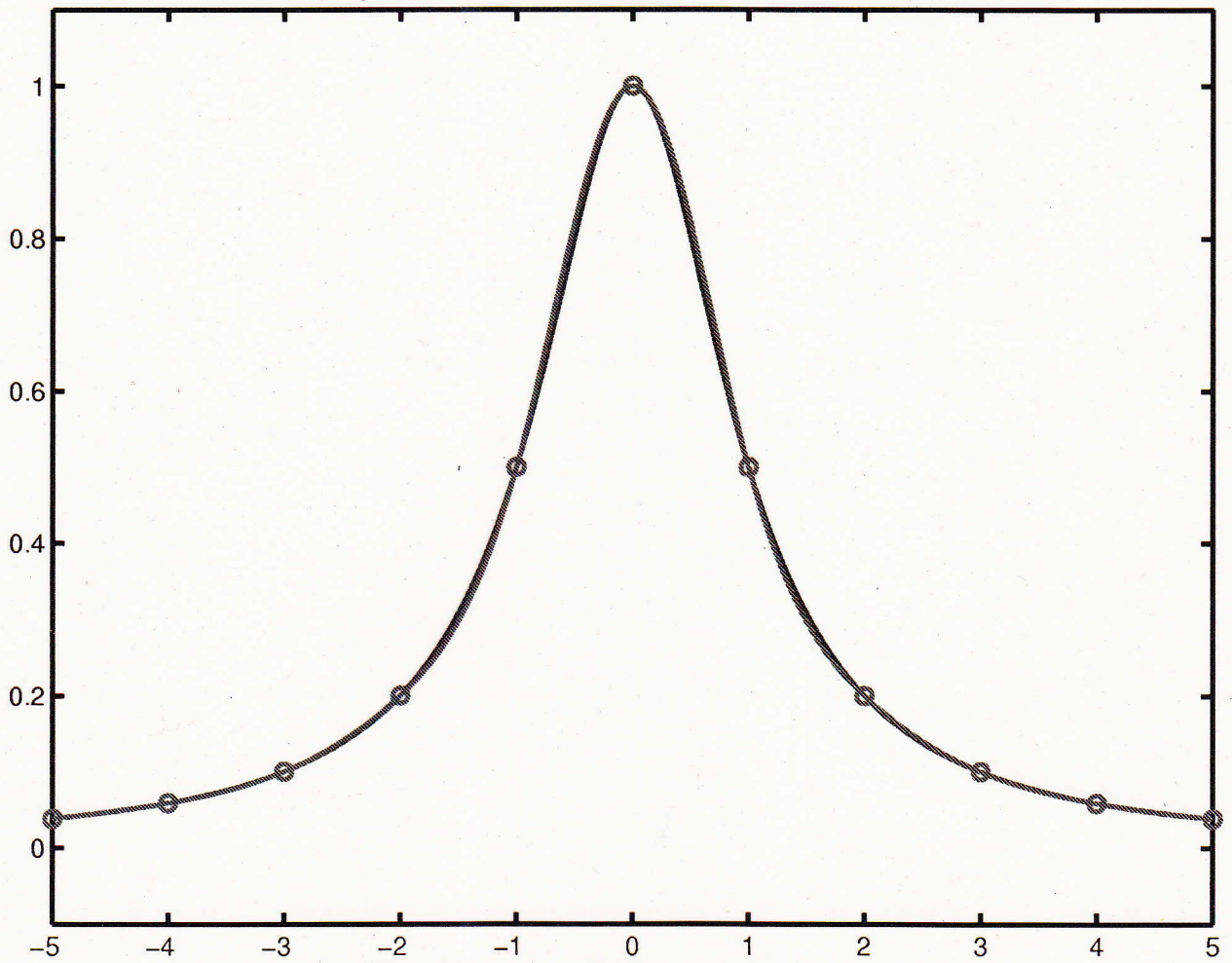
Beispiel von Runge; Spline-Interpolation,  $n = 2$



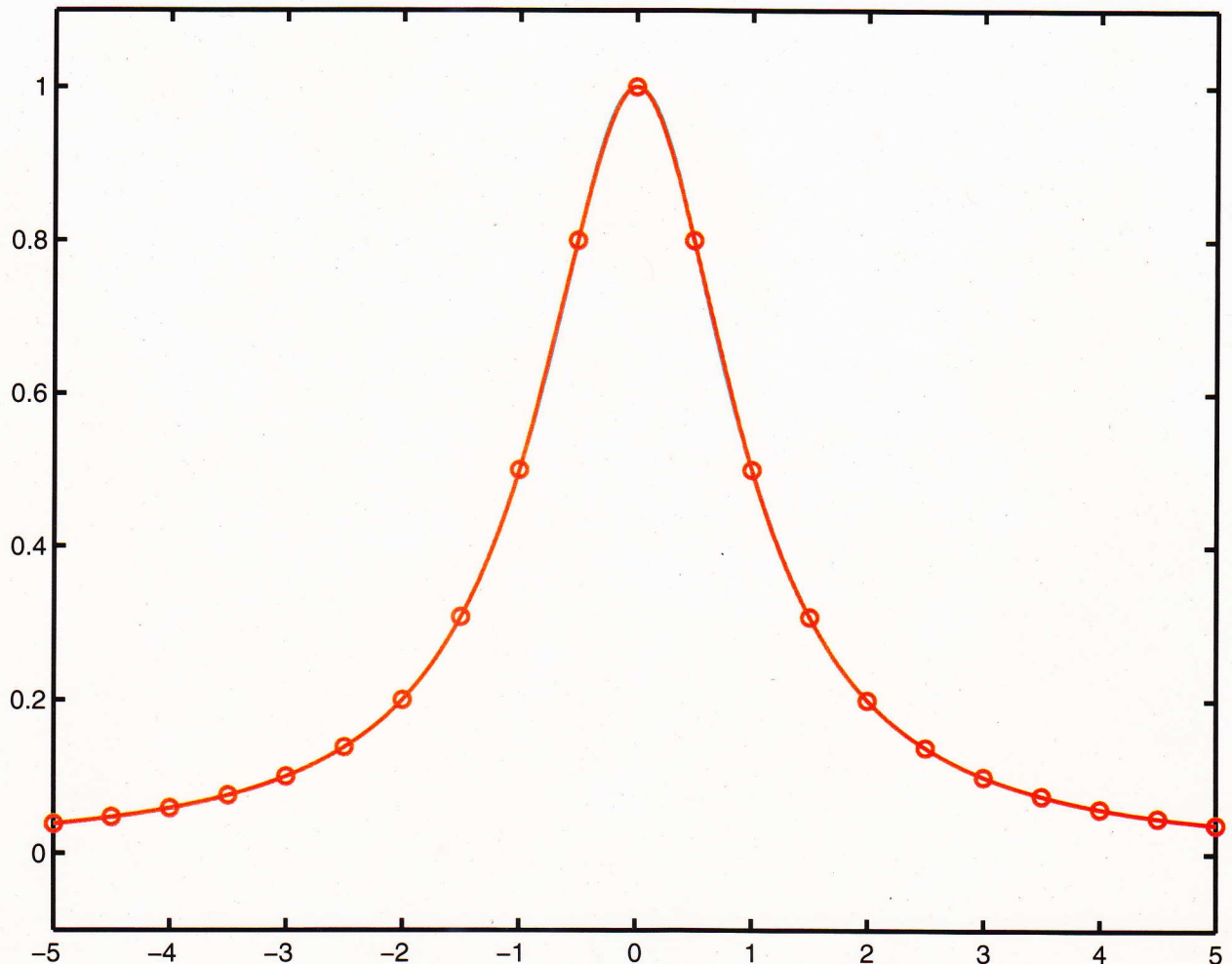
Beispiel von Runge; Spline-Interpolation,  $n = 4$



Beispiel von Runge; Spline-Interpolation,  $n = 6$



Beispiel von Runge; Spline-Interpolation,  $n = 10$



Beispiel von Runge; Spline-Interpolation,  $n = 20$

## 4.2 Matrizen Kalkül

Zur Berechnung von Splines sind lineare Gleichungssysteme zu lösen:

$$\begin{aligned} a_{11}x_1 + a_{12}x_2 + \dots + a_{1n}x_n &= b_1 \\ a_{21}x_1 + a_{22}x_2 + \dots + a_{2n}x_n &= b_2 \\ \vdots & \\ a_{m1}x_1 + a_{m2}x_2 + \dots + a_{mn}x_n &= b_m \end{aligned} \quad (4.1)$$

$a_{ij}$ : Koeffizienten,  $b_i$ : rechte Seiten

Abkürzende Schreibweise:

$$\begin{pmatrix} a_{11} & a_{12} & \dots & a_{1n} \\ a_{21} & a_{22} & \dots & a_{2n} \\ \vdots & \vdots & & \vdots \\ a_{m1} & a_{m2} & \dots & a_{mn} \end{pmatrix} \begin{pmatrix} x_1 \\ x_2 \\ \vdots \\ x_n \end{pmatrix} = \begin{pmatrix} b_1 \\ b_2 \\ \vdots \\ b_m \end{pmatrix} \quad (4.2)$$

$$\boxed{A \cdot x = b}$$

$A$ :  $(m, n)$ -Matrix

$m$ : Zeilenzahl,  $n$ : Spaltenzahl

$\mathbb{R}^{(m,n)}$ : Menge der reellen  $(m, n)$ -Matrizen

$\mathbb{R}^{(m,n)}$  bildet einen reellen Vektorraum

bzgl. der Operationen:



$$A + B = (a_{ij}) + (b_{ij}) := (a_{ij} + b_{ij})$$

$$\lambda A = \lambda (a_{ij}) := (\lambda a_{ij})$$

**Beachte:** Nur Matrizen gleichen Typs lassen sich addieren!

Nullmatrix:  $O := \begin{pmatrix} 0 & \dots & 0 \\ \vdots & & \vdots \\ 0 & \dots & 0 \end{pmatrix}$

Einheitsmatrix:  $I_n := \begin{pmatrix} 1 & & 0 \\ & \ddots & \\ 0 & & 1 \end{pmatrix} \in \mathbb{R}^{(n,n)}$

## Matrix · Vektor:

$$Ax = \begin{pmatrix} a_{11} & \dots & a_{1n} \\ \vdots & & \vdots \\ a_{m1} & \dots & a_{mn} \end{pmatrix} \begin{pmatrix} x_1 \\ \vdots \\ x_n \end{pmatrix} := \begin{pmatrix} \sum_j a_{1j} x_j \\ \vdots \\ \sum_j a_{mj} x_j \end{pmatrix} \quad \underline{(4.3)}$$

Regeln:

$$A(x+y) = Ax + Ay$$

$$A(\lambda x) = (\lambda A)x = \lambda(Ax)$$

$$(A+B)x = Ax + Bx$$

## Matrizenmultiplikation:

(i)  $y = Bx$ ,  $x \in \mathbb{R}^n$ ,  $B \in \mathbb{R}^{(m,n)}$ ,  $y \in \mathbb{R}^m$

(ii)  $z = Ay$ ,  $y \in \mathbb{R}^m$ ,  $A \in \mathbb{R}^{(l,m)}$ ,  $z \in \mathbb{R}^l$

Einsetzen von (i) in (io) ergibt:

$$z = A(Bx) =: Cx$$

wobei  $C := A \cdot B \in \mathbb{R}^{(l,n)}$

$$\begin{pmatrix} c_{11} & \dots & c_{1n} \\ \vdots & & \vdots \\ c_{21} & \dots & c_{2n} \end{pmatrix} = \begin{pmatrix} a_{11} & \dots & a_{1m} \\ a_{21} & \dots & a_{2m} \\ a_{l1} & \dots & a_{lm} \end{pmatrix} \begin{pmatrix} b_{11} & b_{1j} & b_{1n} \\ \vdots & \vdots & \vdots \\ b_{m1} & b_{mj} & b_{mn} \end{pmatrix}$$

$$c_{ij} := \sum_{k=1}^m a_{ik} b_{kj}$$

(4.4)

Beachte: Spaltenzahl der linken Matrix  
= Zeilenzahl der rechten Matrix!

**Beispiele**:

$$\begin{pmatrix} 1 & 2 & 0 \\ 0 & -1 & 3 \end{pmatrix} \begin{pmatrix} 5 & 2 & 3 & -1 \\ -1 & 0 & 1 & 7 \\ 1 & 2 & 1 & 1 \end{pmatrix} = \begin{pmatrix} 3 & 2 & 5 & 13 \\ 4 & 6 & 2 & -10 \end{pmatrix}$$

$$\begin{pmatrix} 2 & 1 & 1 \\ -1 & 2 & 3 \end{pmatrix} \begin{pmatrix} 5 \\ 2 \\ 4 \end{pmatrix} = \begin{pmatrix} 16 \\ 11 \end{pmatrix}$$

$$(1 \ 2) \begin{pmatrix} 3 \\ -1 \end{pmatrix} = (1) = 1 \in \mathbb{R}^1$$

$$\begin{pmatrix} 3 \\ -1 \end{pmatrix} (1 \ 2) = \begin{pmatrix} 3 & 6 \\ -1 & -2 \end{pmatrix} \in \mathbb{R}^{(2,2)}$$

$$\begin{pmatrix} 1 & -1 \\ -1 & 1 \end{pmatrix} \begin{pmatrix} 1 & 1 \\ 2 & 2 \end{pmatrix} = \begin{pmatrix} -1 & -1 \\ 1 & 1 \end{pmatrix}$$

$$\begin{pmatrix} 1 & 1 \\ 2 & 2 \end{pmatrix} \begin{pmatrix} 1 & -1 \\ -1 & 1 \end{pmatrix} = \begin{pmatrix} 0 & 0 \\ 0 & 0 \end{pmatrix}$$

### Beachte:

- Matrizenmultipl. ist nicht kommutativ
- $A \cdot B = \mathbb{O} \not\Rightarrow A = \mathbb{O} \vee B = \mathbb{O}$

### Regeln:

- $(A+B)C = AC + BC$   
 $A(B+C) = AB + AC$
- $A(BC) = (AB)C$
- $A(\lambda B) = (\lambda A)B = \lambda(AB)$
- $A \in \mathbb{R}^{(m,n)} \Rightarrow \begin{matrix} A I_n = A, \\ I_m A = A. \end{matrix}$

# Triagon. Lin. Gleichungssysteme

Wir betrachten das Problem, ein lineares Gleichungssystem  $Ax = r$  mit einer symmetrischen, tridiagonalen Matrix  $A$  zu lösen:

$$A = \begin{pmatrix} a_1 & b_1 & & 0 \\ b_1 & a_2 & & \\ & & \ddots & \\ 0 & & & b_{n-1} & a_n \end{pmatrix}, \quad x = \begin{pmatrix} x_1 \\ \vdots \\ x_n \end{pmatrix}, \quad r = \begin{pmatrix} r_1 \\ \vdots \\ r_n \end{pmatrix}$$

Ansatz (Dreieckszerlegung)

$$\begin{pmatrix} a_1 & b_1 & & 0 \\ b_1 & a_2 & & \\ & & \ddots & \\ 0 & & & b_{n-1} & a_n \end{pmatrix} = \underbrace{\begin{pmatrix} 1 & & & 0 \\ u_2 & 1 & & \\ & & \ddots & \\ 0 & & & u_{n-1} \end{pmatrix}}_L \underbrace{\begin{pmatrix} v_1 & b_1 & & 0 \\ & v_2 & b_2 & \\ & & \ddots & \\ 0 & & & b_{n-1} & v_n \end{pmatrix}}_R$$

Ausmultiplizieren:

$$a_1 = v_1$$

$$a_j = u_j b_{j-1} + v_j, \quad j \geq 2$$

$$b_j = v_j \cdot u_{j+1}, \quad j \geq 1$$

Algorithmus: (4.5)

$$v_1 := a_1$$

$$\text{für } i=2, \dots, n: \quad u_i = b_{i-1} / v_{i-1}$$

$$v_i = a_i - u_i \cdot b_{i-1}$$

Ist somit die Dreieckszerlegung berechnet, so kann man  $Ax = r$  umschreiben zu

$$(LR)x = r \iff L(Rx) = r$$

$$\iff Ly = r \wedge Rx = y$$

Dies sind zwei lineare Gleichungssysteme, die man aber jeweils leicht durch

Vorwärts- bzw. Rückwärts substitution

lösen kann:

$$Ly = r : \begin{pmatrix} 1 & & & \\ u_2 & 1 & & \\ & \ddots & \ddots & \\ 0 & & u_n & 1 \end{pmatrix} \begin{pmatrix} y_1 \\ \vdots \\ y_n \end{pmatrix} = \begin{pmatrix} r_1 \\ r_2 \\ \vdots \\ r_n \end{pmatrix}$$

$$y_1 := r_1$$

$$\text{für } i = 2, \dots, n: y_i = r_i - u_i y_{i-1}$$

$$Rx = y : \begin{pmatrix} v_1 & b_1 & & 0 \\ & v_2 & b_2 & \\ & & \ddots & \ddots \\ 0 & & & b_{n-1} \\ & & & & v_n \end{pmatrix} \begin{pmatrix} x_1 \\ x_2 \\ \vdots \\ x_{n-1} \\ x_n \end{pmatrix} = \begin{pmatrix} y_1 \\ y_2 \\ \vdots \\ y_{n-1} \\ y_n \end{pmatrix}$$

$$x_n := y_n / v_n$$

$$\text{für } i = n-1, n-2, \dots, 1:$$

$$x_i := (y_i - b_i x_{i+1}) / v_i$$

## Algorithmus: (4.6)

$$y_1 := r_1$$

für  $i=2, \dots, n$

$$y_i := r_i - u_i y_{i-1}.$$

$$x_n := y_n / v_n$$

für  $i=n-1, n-2, \dots, 1$

$$x_i := (y_i - b_i x_{i+1}) / v_i.$$

Vorausgesetzt wurde hierbei, dass die  $v_i$  (Pivotelemente) nicht verschwinden.

## 4.3 Berechnung Kubischer Splines

Gegeben sei ein Gitter

$$\Delta: a = x_0 < x_1 < \dots < x_n = b$$

und Interpolationsdaten  $f_k = f(x_k)$ ,  $k=0, \dots, n$   
einer Funktion  $f: [a, b] \rightarrow \mathbb{R}$ .

Gesucht ist  $s: [a, b] \rightarrow \mathbb{R}$  mit

i)  $s|_{[x_k, x_{k+1}]} \in \Pi_3$  ( $k=0, 1, \dots, n-1$ )

ii)  $s(x_k) = f_k$

iii)  $s \in C^2[a, b]$

Zur Bestimmung von  $S(x)$  verwenden wir die lokale Darstellung

$$S(x) = a_k + b_k(x-x_k) + c_k(x-x_k)^2 + d_k(x-x_k)^3 \\ =: p_k(x) \quad \text{für } x_k \leq x \leq x_{k+1} \quad (4.7)$$

Zur Bestimmung der Koeffizienten  $a_k, \dots, d_k$  schreiben wir neben den Funktionswerten auch die ersten Ableitungen vor:

$$p_k(x_k) = f_k, \quad p_k(x_{k+1}) = f_{k+1} \\ p_k'(x_k) = f_k', \quad p_k'(x_{k+1}) = f_{k+1}' \quad (4.8)$$

Beachte: Die  $f_j'$  sind eigentlich nicht bekannt. Sie müssen in einem zweiten Schritt erst bestimmt werden!

Eine leichte Rechnung ergibt die eindeutige Lösung:

$$a_k = f_k, \quad b_k = f_k' \\ c_k = \frac{3 f[x_k, x_{k+1}] - 2 f_k' - f_{k+1}'}{h_k} \\ d_k = \frac{f_k' + f_{k+1}' - 2 f[x_k, x_{k+1}]}{h_k^2} \quad (4.9)$$

Dabei ist  $h_k := x_{k+1} - x_k$  die Gitter-Schrittweite.

Wären die  $f_0', \dots, f_n'$  bekannt, so könnte man mittels (4.9), (4.7) den Spline  $s(x)$  berechnen (eindeutig!).  $s$  wäre dann nach Konstruktion eine  $C^1$ -Funktion auf  $[a, b]$ .

Wir haben nun die  $f_0', \dots, f_n'$  so zu bestimmen, dass  $s$  sogar eine  $C^2$ -Funktion wird:

Forderung:

$$\forall k=1, \dots, n-1 : P_{k-1}''(x_k) = P_k''(x_k)$$

$\Rightarrow$

$$2c_{k-1} + 6d_{k-1}h_{k-1} = 2c_k$$

$\xRightarrow{(4.9)} \dots \Rightarrow$

$$\frac{1}{h_{k-1}} f_{k-1}' + 2 \left( \frac{1}{h_{k-1}} + \frac{1}{h_k} \right) f_k' + \frac{1}{h_k} f_{k+1}' = \tau_k$$

$$\tau_k := 3 \left( \frac{f[x_{k-1}, x_k]}{h_{k-1}} + \frac{f[x_k, x_{k+1}]}{h_k} \right)$$

$$k=1, \dots, n-1 \quad (4.10)$$



Dies ist ein lineares Gleichungssystem für die  $f'_0, \dots, f'_n$ .

In Matrix-Schreibweise:

$$\begin{bmatrix} \frac{1}{h_0} & 2\left(\frac{1}{h_0} + \frac{1}{h_1}\right) & \frac{1}{h_1} & & & \\ & \frac{1}{h_1} & 2\left(\frac{1}{h_1} + \frac{1}{h_2}\right) & \frac{1}{h_2} & & \\ & & & & \ddots & \\ & 0 & & & & \frac{1}{h_{n-2}} & 2\left(\frac{1}{h_{n-2}} + \frac{1}{h_{n-1}}\right) & \frac{1}{h_{n-1}} \\ & & & & & & & & & 0 \end{bmatrix} \begin{bmatrix} f'_0 \\ f'_1 \\ \vdots \\ f'_{n-1} \\ f'_n \end{bmatrix} = \begin{bmatrix} \tau_1 \\ \tau_2 \\ \vdots \\ \tau_{n-1} \end{bmatrix}$$

Dies sind  $(n-1)$  Gleichungen für  $(n+1)$  Unbekannte.  $\Rightarrow$  Zur eindeutigen Festlegung von  $f'_0, \dots, f'_n$  werden zwei Zusatzbedingungen benötigt.

Typ I: Vorgabe der Randableitungen  $f'_0, f'_n$

In obigem lin. Gleichungssystem werden die Terme mit  $f'_0, f'_n$  auf die rechte Seite gebracht:

$$\begin{bmatrix} 2\left(\frac{1}{h_0} + \frac{1}{h_1}\right) & \frac{1}{h_1} & & & 0 \\ \frac{1}{h_1} & 2\left(\frac{1}{h_1} + \frac{1}{h_2}\right) & \frac{1}{h_2} & & \\ & \ddots & \ddots & \ddots & \\ 0 & & \frac{1}{h_{n-2}} & 2\left(\frac{1}{h_{n-2}} + \frac{1}{h_{n-1}}\right) & \\ & & & & 0 \end{bmatrix} \begin{bmatrix} f'_1 \\ \vdots \\ f'_{n-1} \end{bmatrix} = \begin{bmatrix} r_1 - \frac{f'_0}{h_0} \\ r_2 \\ \vdots \\ r_{n-2} \\ r_{n-1} - \frac{f'_n}{h_{n-1}} \end{bmatrix} \quad (4.11)$$

Die Koeffizientenmatrix ist symmetrisch und strikt diagonaldominant.

⇒  
(Später!)

- 1.) Matrix ist regulär
- 2.) (4.11) ist eindeutig lösbar
- 3.) Algorithmus (4.5), (4.6) durchführbar und stabil!

## Typ II : Natürlicher Spline

Es werden die natürlichen Randbedingungen gefordert:

$$S''(x_0) = S''(x_n) = 0 \quad (4.12)$$

Diese Randbedingungen werden von der „Straklatte“ erfüllt: Die Krümmung verschwindet am Rand!

Mit (4.7) folgt:

$$c_0 = c_{n-1} + 3 d_{n-1} h_{n-1} = 0$$

$$\xrightarrow{(4.9)} \quad \frac{2}{h_0} f'_0 + \frac{1}{h_0} f'_1 = 3 \frac{f[x_0, x_1]}{h_0} =: \tau_0 \quad (4.13)$$

$$\frac{1}{h_{n-1}} f'_{n-1} + \frac{2}{h_{n-1}} f'_n = 3 \frac{f[x_{n-1}, x_n]}{h_{n-1}} =: \tau_n$$

Zusammen mit dem linearen Gleichungssystem (4.10) ergibt sich ein  $(n+1, n+1)$ -dim.

lin. Gleichungssystem: (4.14)

$$\begin{bmatrix} 2\frac{1}{h_0} & \frac{1}{h_0} & & & & & 0 \\ \frac{1}{h_0} & 2\left(\frac{1}{h_0} + \frac{1}{h_1}\right) & \frac{1}{h_1} & & & & \\ & \ddots & \ddots & \ddots & & & \\ & & \frac{1}{h_{n-2}} & 2\left(\frac{1}{h_{n-2}} + \frac{1}{h_{n-1}}\right) & \frac{1}{h_{n-1}} & & \\ 0 & & & \frac{1}{h_{n-1}} & 2\frac{1}{h_{n-1}} & & \end{bmatrix} \begin{bmatrix} f'_0 \\ f'_1 \\ \vdots \\ f'_{n-1} \\ f'_n \end{bmatrix} = \begin{bmatrix} \tau_0 \\ \tau_1 \\ \vdots \\ \tau_{n-1} \\ \tau_n \end{bmatrix}$$

(4.14) lässt sich analog zu (4.11) mit dem Algorithmus (4.5), (4.6) lösen!

### Typ III : Periodischer Spline

Ist die Funktion  $f$  periodisch mit Periode  $b-a$ , so gilt

$$f_0 = f(a) = f(b) = f_n.$$

Es ist dann sinnvoll, zu verlangen, dass auch  $S(x)$  periodisch ist und somit

$$S'(x_0) = S'(x_n), \quad S''(x_0) = S''(x_n) \quad \underline{(4.15)}$$

Gilt.

Mit (4.9) und Elimination von  $f_0'$  findet man:

man:

$$\begin{aligned} \frac{f_1'}{h_0} + \frac{f_{n-1}'}{h_{n-1}} + 2\left(\frac{1}{h_0} + \frac{1}{h_{n-1}}\right)f_n' &= \\ &= 3\left(\frac{f[x_0, x_1]}{h_0} + \frac{f[x_{n-1}, x_n]}{h_{n-1}}\right) =: \tau_n \end{aligned}$$

$\Rightarrow$

$$\begin{bmatrix} 2\left(\frac{1}{h_0} + \frac{1}{h_1}\right) & \frac{1}{h_1} & & & 0 & & \frac{1}{h_0} \\ & \frac{1}{h_1} & & & & & \\ & & \ddots & & & & \\ & & & \ddots & & & \\ 0 & & & \frac{1}{h_{n-2}} & 2\left(\frac{1}{h_{n-2}} + \frac{1}{h_{n-1}}\right) & \frac{1}{h_{n-1}} & \\ \frac{1}{h_0} & & & \frac{1}{h_{n-1}} & 2\left(\frac{1}{h_0} + \frac{1}{h_{n-1}}\right) & & \end{bmatrix} \begin{bmatrix} f_1' \\ f_2' \\ \vdots \\ f_n' \end{bmatrix} = \begin{bmatrix} \tau_1 \\ \tau_2 \\ \vdots \\ \tau_n \end{bmatrix} \quad \underline{(4.16)}$$

Die numerische Lösung dieses linearen Gleichungssystems erfolgt mittels so genannter Modifikationstechnik. Dazu schreibt man

die Koeffizientenmatrix als  $A + uv^T$ , wobei  $A$  symmetrisch und tridiagonal ist und  $u := (1, 0, \dots, 0, 1)^T$ ,  $v := (\frac{1}{h_0}, 0, \dots, 0, \frac{1}{h_0})^T$ .

Nach der so genannten Sherman-Morrison-Formel:

$$(A + uv^T)^{-1} = A^{-1} - \frac{A^{-1}uv^T A^{-1}}{1 + v^T A^{-1}u}$$

lässt sich die Lösung des lin. Gleichungssystems mit

$$(A + uv^T)^{-1}r = A^{-1}r - \frac{v^T(A^{-1}r)}{1 + (A^{-1}u)^T v} (A^{-1}u)$$

reduzieren auf zwei lin. Gleichungssysteme mit Koeffizientenmatrix  $A$ .

## 4.4. Minimaleigenschaft

### Definition (4.17)

$$\underline{a)} \quad S_{3,\Delta} := S_3(x_0, \dots, x_n) \\ := \left\{ s \in C^2[x_0, x_n] \mid \forall i: s|_{[x_i, x_{i+1}]} \in \Pi_3 \right\}$$

bezeichne den  $\mathbb{R}$ -Vektorraum der kubischen Splinefunktionen zum Gitter

$$\Delta = \{ a = x_0 < x_1 < \dots < x_n = b \}.$$

b) Zu  $f \in C^2[a, b]$  bezeichne

$$\text{Int}(f) := \left\{ g \in C^2[a, b] \mid \begin{array}{l} \forall i=0, 1, \dots, n: g(x_i) = f_i \\ \forall j=0, n: g'(x_j) = f_j' \end{array} \right\}$$

die Menge der interpolierenden  $C^2$ -Funktionen.

Dabei ist  $f_i := f(x_i)$ ,  $f_j' = f'(x_j)$ .

### Satz (4.18)

Für den interpolierenden kub. Spline  $S_f \in \text{Int}(f) \cap S_{3,\Delta}$  gilt:

$$\underline{a)} \quad \forall g \in \text{Int}(f): \int_a^b S_f''(x)^2 dx \leq \int_a^b g''(x)^2 dx$$

← Typ I

$$\underline{\underline{b)}} \quad \forall s \in S_{3,\Delta} : \\ \int_a^b (f''(x) - s_f''(x))^2 dx \leq \int_a^b (f''(x) - s''(x))^2 dx$$

### Interpretation:

a) Unter allen interpolierenden  $C^2$ -Funktionen — minimiert  $s_f(x)$  das Holladay-Funktional

$$I(y) = \int_a^b (y''(x))^2 dx \quad (\text{Approximation der Krümmung}).$$

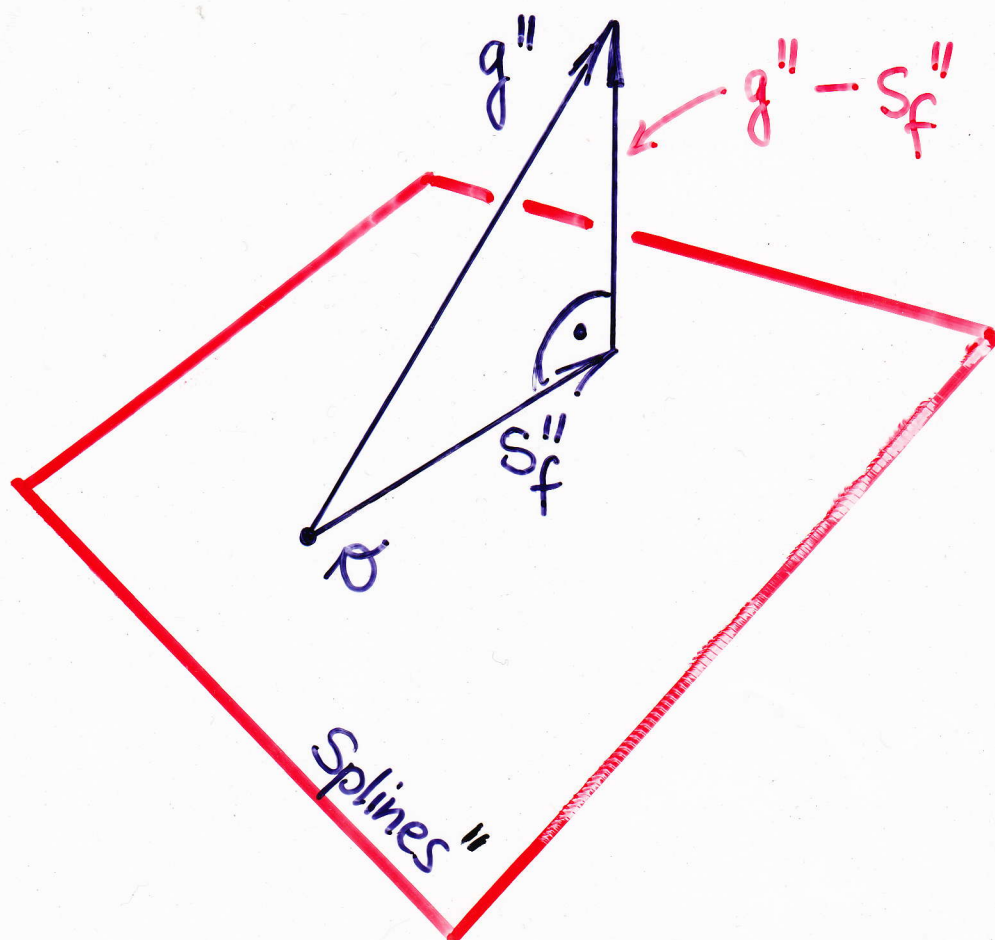
b) Unter allen Splinefunktionen ist  $s_f(x)$  diejenige, für die die 2. Ableitung  $f''(x)$  am Besten approximiert wird.

c) Analoge Aussagen zu a) gelten auch für die Spline-Interpol. vom Typ II/III.

### Beweis zu (4.18):

Wir zeigen zunächst:  $\forall s \in S_{3,\Delta} :$

$$\forall g \in \text{Int}(f) : \int_a^b s''(x) [g''(x) - s_f''(x)] dx = 0 \quad \underline{\underline{(4.19)}}$$



Skalarprodukt :  $\langle u, v \rangle := \int_a^b u(x) v(x) dx$

Norm :  $\|u\| := \sqrt{\langle u, u \rangle}$

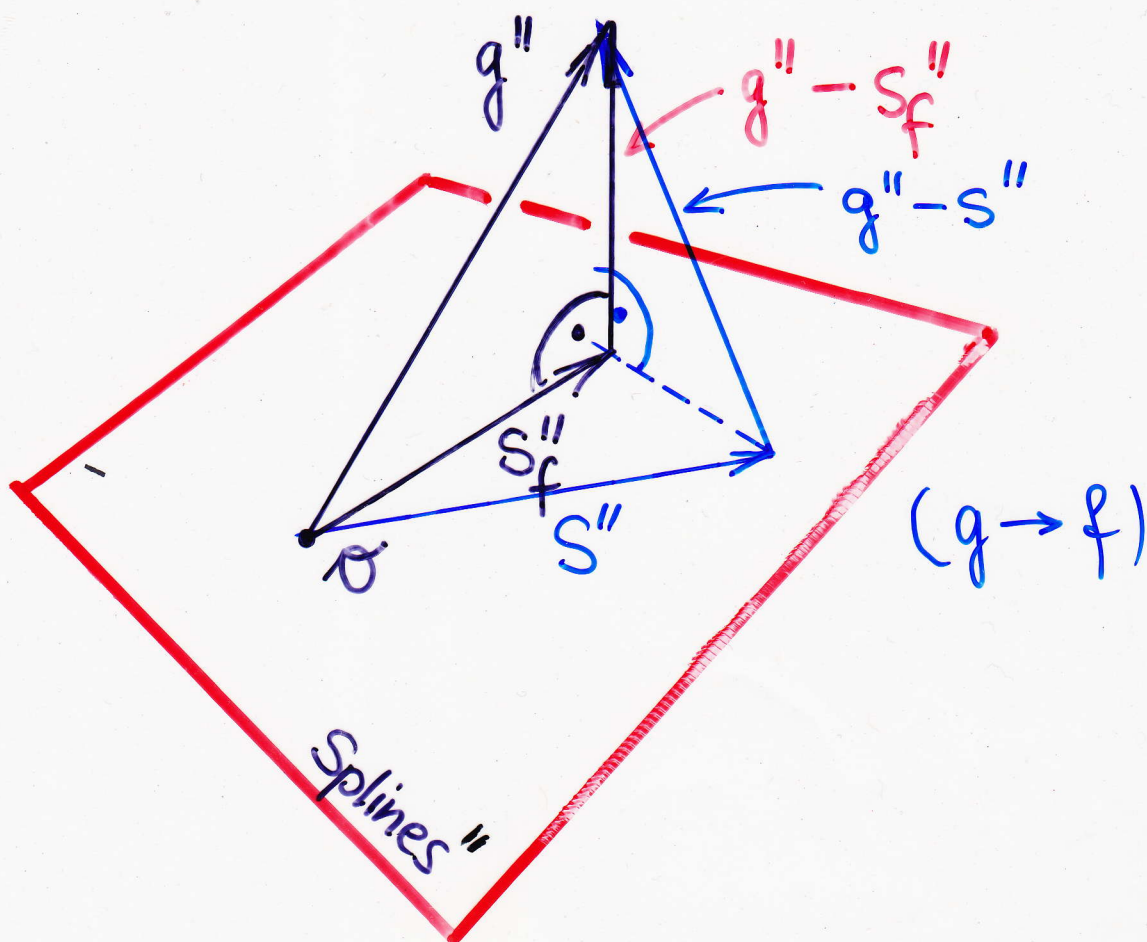


1.)  $\|s_f''\| \leq \|g''\|$  (Pythagoras)

2.)  $\|g'' - s_f''\| \leq \|g'' - s''\|$

(setze dann  $g := f$ )





Skalarprodukt :  $\langle u, v \rangle := \int_a^b u(x) v(x) dx$

Norm :  $\|u\| := \sqrt{\langle u, u \rangle}$



1.)  $\|s_f''\| \leq \|g''\|$  (Pythagoras)

2.)  $\|g'' - s_f''\| \leq \|g'' - s''\|$

(setze dann  $g := f$ )

Zweimalige partielle Integration:

$$\begin{aligned} \int_a^b s''(g'' - s_f'') dx &= \sum_0^{n-1} \int_{x_i}^{x_{i+1}} s''(g'' - s_f'') dx \\ &= \sum_0^{n-1} \left\{ s''(g' - s_f') \Big|_{x_i}^{x_{i+1}} - s'''(g - s_f) \Big|_{x_i}^{x_{i+1}} + \right. \\ &\quad \left. + \int_{x_i}^{x_{i+1}} s^{(4)}(g - s_f) dx \right\} \end{aligned}$$

Der erste Summand verschwindet wegen der Stetigkeit von  $s''(g' - s_f')$  und wegen  $g' = s_f' = f'$  in  $x_0$  und  $x_n$ .

Der zweite Summand verschwindet wegen  $g = s_f = f$  in allen  $x_i$ ,  $i = 0, 1, \dots, n$ .

Der dritte Summand verschwindet wegen  $s^{(4)} = 0$ .

zu a):

$$\begin{aligned} \int_a^b (g'' - s_f'')^2 &= \int_a^b (g'')^2 - \int_a^b (s_f'')^2 - 2 \int_a^b s_f''(g'' - s_f'') \\ &\stackrel{(4.19)}{=} \int_a^b (g'')^2 - \int_a^b (s_f'')^2 \geq 0. \end{aligned}$$

zu b):

$$\int_a^b (f'' - s'')^2 = \int_a^b (f'' - s_f'' + s_f'' - s'')^2$$

$$\begin{aligned}
&= \int_a^b (f'' - s_f'')^2 + \int_a^b (s_f'' - s'')^2 + \\
&+ 2 \int_a^b (f'' - s_f'') s_f'' - 2 \int_a^b (f'' - s_f'') s'' \\
(4.19) \quad &\stackrel{=}{=} \int_a^b (f'' - s_f'')^2 + \int_a^b (s_f'' - s'')^2 \\
&\geq \int_a^b (f''(x) - s_f''(x))^2 dx \quad \blacktriangle
\end{aligned}$$

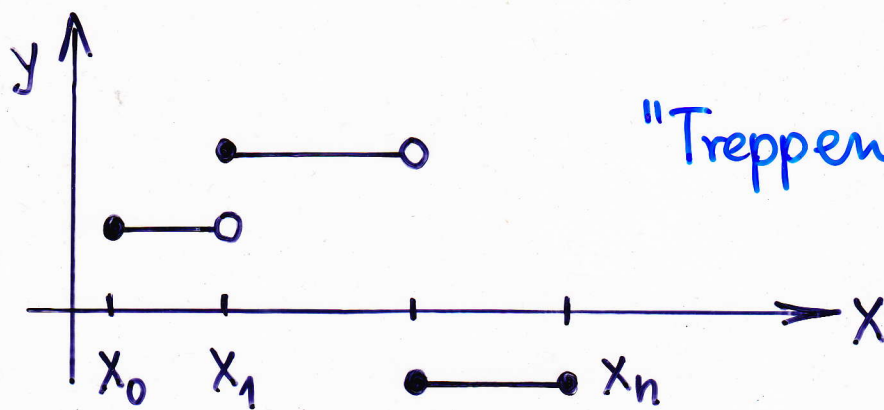
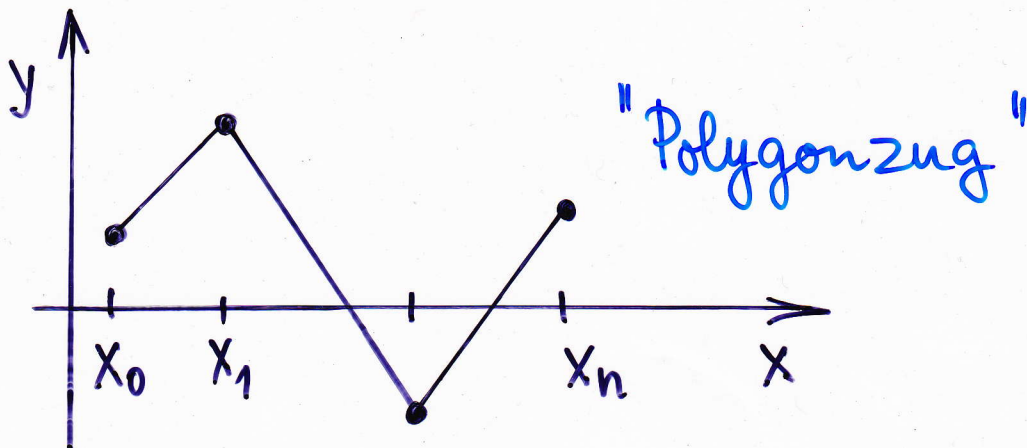
### Definition (4.20)

In Verallgemeinerung von (4.17) definiert man für  $m \in \mathbb{N}_0$  und Knoten

$$\Delta := \{a = x_0 < x_1 < \dots < x_n = b\}$$

Splinefunktionen vom Grad  $m$  durch:

$$S_{m,\Delta} := \left\{ s \in C^{m-1}[a,b] \mid \begin{array}{l} s|_{[x_i, x_{i+1}[} \in \Pi_m \\ (i=0, \dots, n-2) \text{ und } s|_{[x_{n-1}, x_n]} \in \Pi_m \end{array} \right\}$$

$m=0$ : $m=1$ :

### Satz (4.21)

$S_{m,\Delta}$  ist ein linearer Teilraum von  $\mathbb{R}^{[a,b]}$   
mit der Dimension:  $\dim S_{m,\Delta} = m+n$ .

Beweis:

Die Vektorraum-Eigenschaft von  $S_{m,\Delta}$  ist klar.

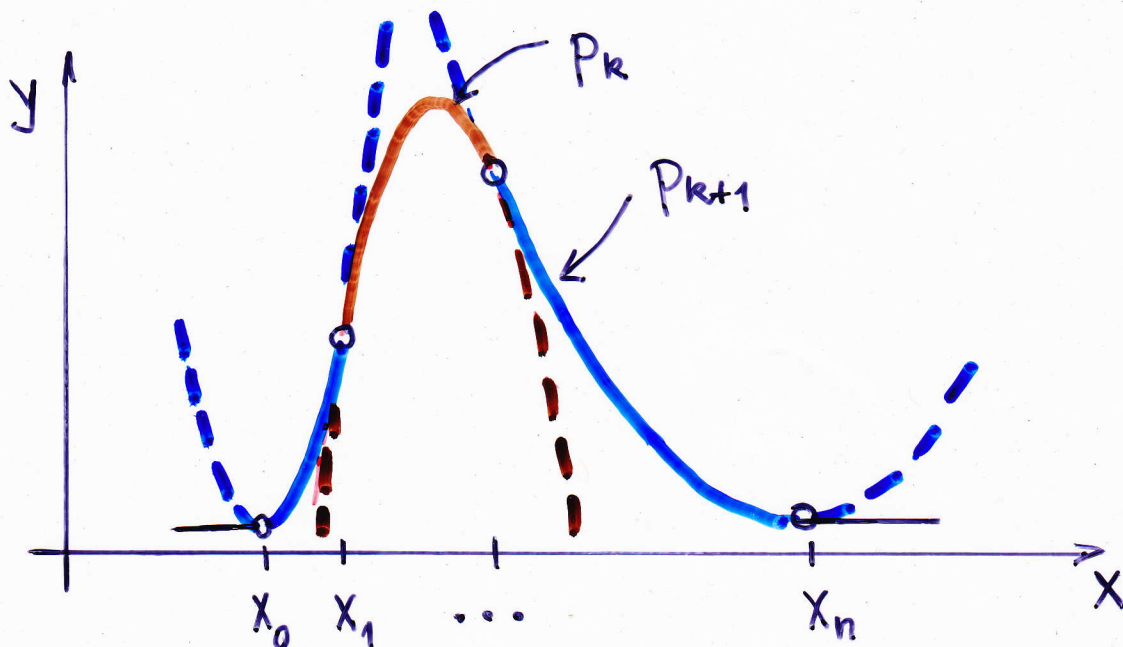
Darstellung von  $S \in S_{m,\Delta}$ :

$$\forall k: S(x) = p_k(x) \in \mathbb{T}_m, \quad x_k \leq x < x_{k+1}$$

$$\implies S \in C^{m-1}$$

a)  $p_0(x) \in \text{Spann} \{1, (x-x_0), \dots, (x-x_0)^m\}$

b)  $p_{k+1}(x) - p_k(x) = \beta_{k+1} (x-x_{k+1})^m$   
 $(x \geq x_{k+1}, k=0, 1, \dots, n-2)$



Setzt man also

$$(x-x_k)_+^m := \begin{cases} 0 & : x < x_k \\ (x-x_k)^m & : x \geq x_k \end{cases} \quad (4.22)$$

so erhält man die Basisdarstellung

$$s(x) = \sum_{j=0}^m \alpha_j (x-x_0)^j + \sum_{k=1}^{n-1} \beta_k (x-x_k)_+^m \quad (4.23)$$

mit eindeutig bestimmten Koeffizienten  $\alpha_j, \beta_k$ .

$$\Rightarrow \dim S_{m,\Delta} = (m+1) + (n-1) = m+n$$



## 4.5 Darstellung mit B-Splines

Für viele Anwendungen von Splines (u.a. im CAD-Bereich oder bei der Lösung partieller Differentialgl.) wird eine Darstellung verwendet, bei der die Basis-Splines (B-Splines) einen möglichst kleinen, kompakten Träger besitzt.

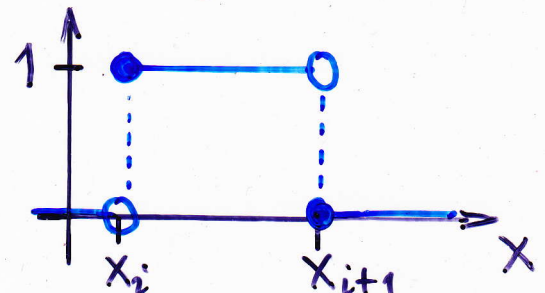
### Definition (4.24)

Zu einem erweiterten Gitter

$$\Delta'_m = \{x_{-m} < \dots < x_{-1} < x_0 < \dots < x_n < x_{n+1} < \dots < x_{n+m}\}$$

definieren wir die B-Splines  $B_{i,m}(x)$ ,  $i = -m, \dots, n-1$  durch die Rekursion:

$$B_{i,0}(x) := \begin{cases} 1 & : x_i \leq x < x_{i+1} \\ 0 & : \text{sonst} \end{cases}$$



$$B_{i,k}(x) := \frac{x - x_i}{x_{i+k} - x_i} B_{i,k-1}(x) + \frac{x_{i+k+1} - x}{x_{i+k+1} - x_{i+1}} B_{i+1,k-1}(x)$$

$k = 1, 2, \dots, m, \quad i = -m, \dots, n+m-k-1$

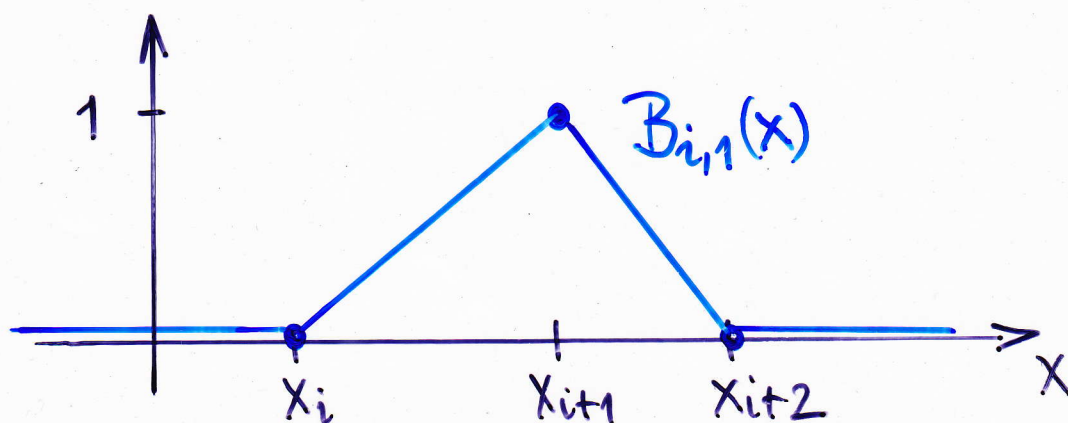
# Neville - Schema:

$$\begin{array}{ccc}
 B_{i,0} & & \\
 B_{i+1,0} & B_{i,1} & \\
 \vdots & \vdots & \\
 B_{i+m,0} & B_{i+m-1,1} \cdots B_{i,m} & 
 \end{array}
 \quad \underline{i = -m, \dots, n-1}$$

Beachte: Die  $B_{i,k}(x)$  sind auf ganz  $\mathbb{R}$  definiert, sie verschwinden jedoch außerhalb von  $[X_i, X_{i+k+1}]$ .

$k=1$ :

$$\begin{aligned}
 B_{i,1}(x) &= \frac{x - X_i}{X_{i+1} - X_i} B_{i,0}(x) + \frac{X_{i+2} - x}{X_{i+2} - X_{i+1}} B_{i+1,0}(x) \\
 &= \begin{cases} \frac{x - X_i}{X_{i+1} - X_i} & : \text{für } X_i \leq x < X_{i+1} \\ \frac{X_{i+2} - x}{X_{i+2} - X_{i+1}} & : \text{für } X_{i+1} \leq x < X_{i+2} \end{cases}
 \end{aligned}$$



Zur numerischen Auswertung der B-Splines genügt es wiederum, ein eindimensionales Feld zu verwenden und das Tableau - bei zeilenweiser Berechnung folgendermaßen abzuspeichern:

$$\begin{array}{cccc}
 B_0 & & & \\
 B_1 & B_0 & & \\
 B_2 & B_1 & B_0 & \\
 \vdots & \vdots & & \\
 B_m & B_{m-1} & \dots & B_0
 \end{array}$$

### Algorithmus (4.25) ( $i, m$ und $x$ gegeben)

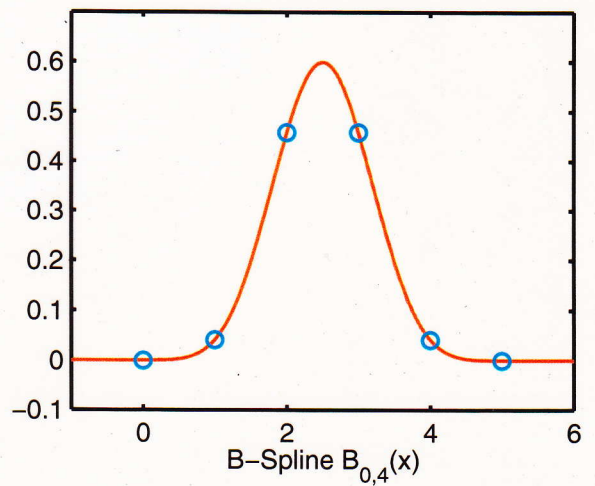
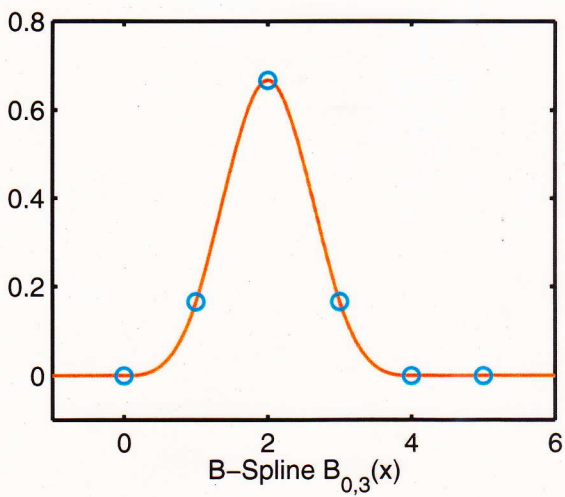
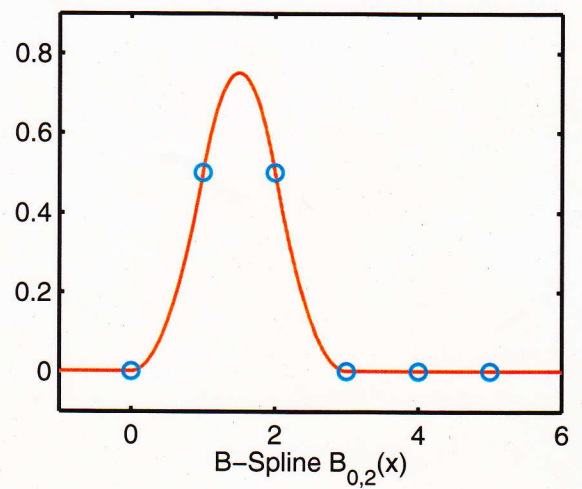
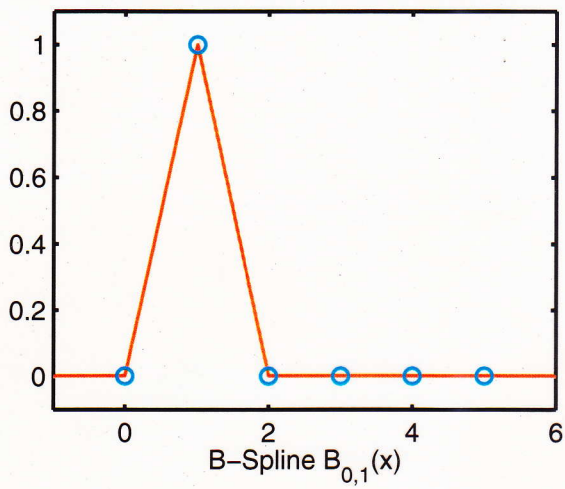
für  $k = 0, 1, \dots, m$

$$B_k := \begin{cases} 1 & \text{für } X_{ik} \leq X < X_{i,k+1} \\ 0 & \text{sonst} \end{cases}$$

für  $l = k-1, k-2, \dots, 0$

$$B_l = \frac{X - X_{il}}{X_{ik} - X_{il}} B_l + \frac{X_{i,k+1} - X}{X_{i,k+1} - X_{i,l+1}} B_{l+1}$$





Wir notieren (ohne Beweis) einige Eigenschaften der B-Splines:

### Satz (4.26)

- a)  $B_{i,k}$  ist ein Spline vom Grad  $k$  bzgl. des erweiterten Gitters  $\Delta'_m$  ( $k=0,1,\dots,m$ )
- b)  $B_{i,k}$  hat den Träger  $[x_i, x_{i+k+1}]$  mit  $B_{i,k}(x) > 0$  für  $x_i < x < x_{i+k+1}$
- c)  $\forall x \in [a,b] : \sum_{i=-m}^{n-1} B_{i,k}(x) = 1$   
(Zerlegung der Eins)
- d) Die Splinefunktionen  $B_{i,m}$ ,  $i=-m, \dots, n-1$  bilden eine Basis von  $S_{m,\Delta}$ .

( $\rightarrow$  de Boor: A practical guide to splines, Springer, 1978)